

前回の講義 (V) で  $gg \rightarrow Q\bar{Q}$  の計算を完了できなかったことと、(268)式のエラーが深刻なものであったので、今回は次週の講義 (6月3日、4日) を待たず、誤りを正す解説と、計算の完成までのノートを公開します。今まで、講義の前日にノートを用意していたことの無理が出てしま、たのた"と反省しています。少しずつ準備を早めるよう努力していきますので、ご容赦ください。

まず、前回の講義中に (268)式の誤りと、(266)式の疑問点を指摘して下さい、た藤井宏次さんに感謝します。  $f(x)g(-x)$  の積分を対称積分に変えたところまでは良かったのですが、答えがゼロになるはずだ"と思い込んでいたので、「対称関数の対称積分がゼロ」というテ"タラメの式を書いてしまいました。ごめんなさい。どうもこのよ"な誤り(結果に向けて推論をねじ曲げる誤り)をまねしないで下さいね、反省です。

さて、初めに、このエラーの原因 (266)式で Hamiltonian 密度の全微分項(特に時間微分項、 $\partial_0(\phi^* \partial_0 \phi)$ ) を落としたことです。エネルギー保存の式

$$(340) \quad \dot{H} = \int d^3x \mathcal{E} \dot{\mathcal{E}} = \int d^3x \nabla \cdot \vec{j}(x) = 0$$

を思い出して下さい。保存カレント ( $\partial_\mu j^\mu = j^0 - \nabla \cdot \mathbf{j} = 0$ ) は p. 40 (25) 式です。

(266) 式の第一項,  $\partial_0(\phi^* \partial_0 \phi)$ , は  $\int d^3x$  積分をしても表面項になります。従って

消えません。Lagrangian の全微分項は運動方程式を変えないので (運動方程式)

は始点と終点を変えない経路の変分をゼロにするこゝ, 式(5)を思い出して下さい、

全微分項を捨てること <sup>が許され</sup> ますか。Hamiltonian は  $L(\dot{z}, z)$ ,  $\mathcal{L}(\phi, \partial_\mu \phi)$  の導かぎりでは

なりません。又、エネルギー、運動量保存則を導く並進変換は、全空間に適用されます。

と、このようにして、正しい Hamiltonian (265) を出発点として、計算をやり直します。

$$(34) H = \int d^3x \mathcal{H}$$

$$= \int d^3x \left\{ \frac{\int d^3k'}{(2\pi)^3 2E'} \frac{\int d^3k}{(2\pi)^3 2E} \left[ iE'(a_{k'}^\dagger e^{ik'x} - b_{k'} e^{-ik'x}) (-iE)(a_{k'} e^{-ik'x} - b_{k'} e^{ik'x}) \right. \right. \\ \left. \left. + (-ik'_0)(a_{k'}^\dagger e^{ik'x} - b_{k'} e^{-ik'x}) (ik_0)(a_{k'} e^{-ik'x} - b_{k'} e^{ik'x}) \right. \right. \\ \left. \left. + m^2 (a_{k'}^\dagger e^{ik'x} + b_{k'} e^{-ik'x}) (a_{k'} e^{-ik'x} + b_{k'} e^{ik'x}) \right] \right\}$$

$$= \int d^3x \left\{ \frac{\int d^3k'}{(2\pi)^3 2E'} \frac{\int d^3k}{(2\pi)^3 2E} \left[ (EE' + \mathbf{k} \cdot \mathbf{k}') [a_{k'}^\dagger a_{k'} e^{i(k-k')x} + b_{k'} b_{k'}^\dagger e^{-i(k-k')x} \right. \right. \\ \left. \left. - a_{k'}^\dagger b_{k'}^\dagger e^{i(k'+k)x} - b_{k'} a_{k'} e^{-i(k'+k)x} \right] \right. \\ \left. + m^2 [a_{k'}^\dagger a_{k'} e^{i(k-k')x} + b_{k'} b_{k'}^\dagger e^{-i(k-k')x} + a_{k'}^\dagger b_{k'}^\dagger e^{i(k+k')x} + b_{k'} a_{k'} e^{-i(k+k')x}] \right\}$$

$$= \int \frac{d^3k'}{(2\pi)^3 2E'} \frac{d^3k}{(2\pi)^3 2E} \left\{ (2\pi)^3 \delta^3(\mathbf{k}-\mathbf{k}') [ (EE' + \mathbf{k} \cdot \mathbf{k}' + m^2) (a_{k'}^\dagger a_{k'} e^{i(E'-E)t} + b_{k'} b_{k'}^\dagger e^{-i(E'-E)t}) \right. \\ \left. + (2\pi)^3 \delta^3(\mathbf{k}+\mathbf{k}') [ (-EE' - \mathbf{k} \cdot \mathbf{k}' + m^2) (a_{k'}^\dagger b_{k'}^\dagger e^{i(E'+E)t} + b_{k'} a_{k'} e^{-i(E'+E)t}) \right] \right\}$$

$$= \int \frac{d^3k}{(2\pi)^3} \left\{ \frac{1}{2E} \left[ (E^2 + \mathbf{k} \cdot \mathbf{k} + m^2) [a_{k'}^\dagger a_{k'} + b_{k'} b_{k'}^\dagger] + (-E^2 + \mathbf{k} \cdot \mathbf{k} + m^2) [a_{k'}^\dagger b_{k'}^\dagger e^{2iEt} + b_{k'} a_{k'} e^{-2iEt}] \right] \right. \\ \left. \begin{matrix} \underbrace{\hspace{1cm}} \rightarrow 2E^2 & \underbrace{\hspace{1cm}} \rightarrow 0 \end{matrix} \right\}$$

$$= \int \frac{d^3k}{(2\pi)^3} \frac{1}{2} [a_{k'}^\dagger a_{k'} + b_{k'} b_{k'}^\dagger]$$

これで (269) 式の自由複素スカラー場の Hamiltonian が、今度は正しく導出されました。

ここでもう一度、少したけ、自由 Dirac 場の Hamiltonian の導出、

p. 69 ~ p. 71, (165) - (172), の反省をさせて下さい。この導出では (168) 式 [再掲]:

$$(168) \quad \begin{cases} u(\mathbf{k}, \lambda)^{\dagger} u(\mathbf{k}, \lambda) = 2E \delta_{\lambda\lambda'} & v(\mathbf{k}, \lambda')^{\dagger} v(\mathbf{k}, \lambda) = 2E \delta_{\lambda\lambda'} \\ u(-\mathbf{k}, \lambda)^{\dagger} v(\mathbf{k}, \lambda) = 0 & v(-\mathbf{k}, \lambda)^{\dagger} u(\mathbf{k}, \lambda) = 0 \end{cases}$$

が本質的でした。この内、上段の2式は波動関数の規格化なので

問題ないのですが、下段の2式は、その証明のために別の特別な

表示を使っていますので、一般的に成立するべき関係式なのか

どうか、講義中に判断できませんでした。ここで、下段の2式が、

運動方程式 (162) 式 [再掲]

$$(162) \quad \begin{cases} (\not{p} - m) u(p, \lambda) = \bar{u}(p, \lambda) (\not{p} - m) = 0 \\ (\not{p} + m) v(p, \lambda) = \bar{v}(p, \lambda) (\not{p} + m) = 0 \end{cases} \quad \left( \begin{array}{l} p^{\mu} = (E, \mathbf{p}) \\ E = \sqrt{\mathbf{p}^2 + m^2} \end{array} \right)$$

の帰結であることを、従って表示には依存しないことを示します。

まず、(166) の2番目の表式にもとづいて、 $a^{\dagger} b^{\dagger}$  項と  $ba$  項がそれぞれ

$$(343) \quad a_{\mathbf{k}'\lambda'}^{\dagger} b_{\mathbf{k}\lambda}^{\dagger} \bar{u}(\mathbf{k}', \lambda') (-\gamma^i k'^i + m) v(\mathbf{k}, \lambda) e^{i(\mathbf{k}'+\mathbf{k})\cdot\mathbf{x}} \\ + b_{\mathbf{k}'\lambda'} a_{\mathbf{k}\lambda} \bar{v}(\mathbf{k}', \lambda') (\gamma^i k'^i + m) u(\mathbf{k}, \lambda) e^{-i(\mathbf{k}+\mathbf{k}')\cdot\mathbf{x}}$$

となることを確認してください。  $\int d^3x$  を実行すると  $(2\pi)^3 \delta^3(\mathbf{k}+\mathbf{k}')$  となり、

更に  $\int d^3k'$  積分をすると.

$$(344) \quad a_{-k, \lambda}^+ b_{k, \lambda}^+ \underbrace{\bar{u}(-k, \lambda') (-\gamma^i k^i + m) v(k, \lambda)}_{\text{~~~~~}} e^{2iEt} \\ + b_{-k, \lambda}^- a_{k, \lambda}^- \underbrace{\bar{v}(-k, \lambda') (\gamma^i k^i + m) u(k, \lambda)}_{\text{~~~~~}} e^{-2iEt}$$

となります。上の式で ~~~~ 線の部分は、運動方程式 (162) = (342)

を用いるとゼロとなります。

$$(345a) \quad \bar{u}(-k, \lambda') (-\gamma^i k^i + m) v(k, \lambda) \\ = \frac{1}{2} \left\{ \bar{u}(-k, \lambda') \left[ \underbrace{-\gamma^0 E + \gamma^i (-k^i) + m}_{\uparrow} + \underbrace{\gamma^0 E - \gamma^i k^i + m}_{\uparrow} \right] v(k, \lambda) \right\} \\ = 0$$

$$(345b) \quad \bar{v}(-k, \lambda') (\gamma^i k^i + m) u(k, \lambda) \\ = \frac{1}{2} \left\{ \bar{v}(-k, \lambda') \left[ \underbrace{\gamma^0 E - \gamma^i (-k^i) + m}_{\uparrow} - \underbrace{\gamma^0 E + \gamma^i k^i + m}_{\uparrow} \right] u(k, \lambda) \right\} \\ = 0$$

これにより、不用項は運動方程式によってゼロとなることが示され

ました。(168) = (341) の下段の等式は、従って、表示によらずに成立

します。 //

さて、また反省は終わっていませんでした。  $gg \rightarrow \theta\bar{\theta}$  のカラ-1重項部分 (要するに  $gg \rightarrow t\bar{t}$  と同じ部分) が全くできなかつたのでした。チェックしたところ、p.111 ~ p.113 は全てOKでした。p.114 にエラーが2ヶ所ありました。(336)式は determinant の計算で符号のエラー:

$$(336 \text{ 正}) \quad \left[ \frac{1}{i} \varepsilon_{\alpha\mu_1\mu_2\beta} k_i^\alpha \varepsilon_1^{\mu_1} \varepsilon_2^{\mu_2} J^{5\beta} \right]_{\lambda_1\lambda_2}^{\sigma,\sigma} = -2mE \lambda_1 \delta_{\lambda_1\lambda_2}$$

(346) ↑

次に(337)式では、3行目から4行目に移動するとき「 $\sin\theta$ 」を書き忘れ:

$$(337 \text{ 正}) \quad \left[ \frac{1}{i} \varepsilon_{\alpha\mu_1\mu_2\beta} k_i^\alpha \varepsilon_1^{\mu_1} \varepsilon_2^{\mu_2} J^{5\beta} \right]_{\lambda_1\lambda_2}^{\sigma,-\sigma} = -2E^2 \underbrace{\sin\theta}_{\uparrow} \beta \sigma \lambda_1 \delta_{\lambda_1\lambda_2}$$

(347)

た、た:これだけのミスのために、p.115 の(338)と(339)はデタラメになつてしまいました。まず(339)は、(347)のエラーを直すだけで

$$(339 \text{ 正}) \quad \hat{M}_{\lambda\lambda}^{\sigma,-\sigma} = 0$$

(348)

となりOKです。次に(338)は、(346)のエラーを直すと、

$$(338 \text{ 正}) \quad \hat{M}_{\lambda\lambda}^{\sigma,\sigma} = \left( \frac{1}{k_i \cdot k_3} + \frac{1}{k_i \cdot k_4} \right) (-mE\beta\sigma \sin^2\theta - mE\lambda) - \left( \frac{1}{k_i \cdot k_3} - \frac{1}{k_i \cdot k_4} \right) mE\sigma \cos\theta$$

(349)

$$= -\frac{mE}{(k_i \cdot k_3)(k_i \cdot k_4)} [2E^2(\lambda + \sigma\beta \sin^2\theta) + 2E^2\beta\sigma \cos^2\theta]$$

$$= -\frac{2mE^3}{(k_i \cdot k_3)(k_i \cdot k_4)} \lambda [1 + \lambda\sigma\beta]$$

振幅(349)が「Higgs resonanceの寄与 ( $gg \rightarrow H \rightarrow t\bar{t}$ ) と干渉する重要な振幅です」。7次元の  $\Lambda^2 \tilde{\tau}_r - (\lambda)$  と 11次元の  $\Lambda^2 \tilde{\tau}_r - (\sigma)$  が同じ時に大きく ( $M \sim 1+\beta$ )、逆の時に小さく ( $M \sim 1-\beta$ ) なります。

この入射グルオンハジター ( $\lambda$ ) と終クォークハジター ( $\sigma$ ) の相関は、偏極陽子衝突が可能な「かま」 LHC では役に立ちませんが、光子リニアコライターの物理では強力な武器となります。浅川恵理士さんの論文

(350) E. Asakawa, R. H., EPJC 31, 351-364 (2003)

を参考にしてください。[注: この論文の Table 1 の振幅は、この講義で求めた振幅と、overall 符号がずれています。これは多分、 $-z$  方向に進む光子の偏極ハジターの位相を、(333b) の  $\phi=0$  でなく、 $\phi=\pi$  としたためだと思います。overall 位相は決して物理に反映しませんが、異なる位相 convention の式を不用意に混同するとエラーを導きます。振幅間の位相を問題にするときは、必ず、全ての振幅を同じ位相 convention で計算しなければなりません。]

LHC の物理としては、ハジターが等しいグルオンは、質量ゼロのクォークを生成できない、という点として重要です。このため、

$gg \rightarrow b\bar{b}$  の4 $\pi$  状態では、 $gg \rightarrow H \rightarrow b\bar{b}$  の振幅との干渉は

ほとんど見えなしいと思います。あくまで、重 $Higgs$ ,  $gg \rightarrow H, A \rightarrow t\bar{t}$  等で、効果が現れるのをた $33$  と思います。

さて、Higgs とは干渉しない、 $\lambda_1 \neq \lambda_2$  の振幅を計算しておきましょう。

この場合は (330) 式の  $\sigma$ -項 以外は消えてしまうので

$$\begin{aligned}
 (351) \quad \hat{M}_{\lambda, -\lambda}^{\sigma\sigma} &= \left( \frac{k_3 \cdot \varepsilon_1(\lambda)}{k_1 \cdot k_3} - \frac{k_4 \cdot \varepsilon_1(\lambda)}{k_1 \cdot k_4} \right) (J \cdot \varepsilon_2)_{-\lambda}^{\sigma, \sigma} && \leftarrow (330) \\
 &= \frac{E\beta}{\sqrt{2}} \sin\theta \lambda \left( \frac{1}{k_1 \cdot k_3} + \frac{1}{k_1 \cdot k_4} \right) (-\sqrt{2} m \sigma (-\lambda) \sin\theta) && \leftarrow (334, 335) \\
 &= \sigma m E \beta \sin^2\theta \left( \frac{1}{k_1 \cdot k_3} + \frac{1}{k_1 \cdot k_4} \right) \\
 &= \sigma \frac{2mE^3\beta}{(k_1 \cdot k_3)(k_1 \cdot k_4)} \sin^2\theta
 \end{aligned}$$

$$\begin{aligned}
 (352) \quad \hat{M}_{\lambda, -\lambda}^{\sigma, -\sigma} &= \left( \frac{k_3 \cdot \varepsilon_1(\lambda)}{k_1 \cdot k_3} - \frac{k_4 \cdot \varepsilon_1(\lambda)}{k_1 \cdot k_4} \right) (J \cdot \varepsilon_2)_{-\lambda}^{\sigma, -\sigma} \\
 &= \frac{E\beta}{\sqrt{2}} \sin\theta \lambda \left( \frac{1}{k_1 \cdot k_3} + \frac{1}{k_1 \cdot k_4} \right) \sqrt{2} E \sigma (1 + \sigma \lambda \cos\theta) \\
 &= \sigma \lambda E^2 \beta \sin\theta (1 + \sigma \lambda \cos\theta) \left( \frac{1}{k_1 \cdot k_3} + \frac{1}{k_1 \cdot k_4} \right) \\
 &= \sigma \lambda \frac{2E^4\beta}{(k_1 \cdot k_3)(k_1 \cdot k_4)} \sin\theta (1 + \sigma \lambda \cos\theta)
 \end{aligned}$$

$E \gg m$  では (352) のハリツテ-振幅だけが残り。

$$\begin{aligned}
 (353) \quad \hat{M}_{\lambda, -\lambda}^{\sigma, -\sigma} &= \sigma \lambda \cdot 2\beta \frac{\sin\theta (1 + \sigma \lambda \cos\theta)}{1 - \beta^2 \cos^2\theta} \\
 &\xrightarrow{\beta \rightarrow 1} \sigma \lambda \cdot 2 \frac{1 + \sigma \lambda \cos\theta}{\sin\theta}
 \end{aligned}$$

前方 ( $\cos\theta \sim 1$ ) では  $\sigma = \lambda$  の振幅 ( $\lambda$  射角  $\theta = 0$  のハリツテ-と、全波

角  $\theta = \pi$ 、又は反  $\lambda$  射角  $\theta = \pi$  のハリツテ-が  $\sigma = -\lambda$  の振幅) が大きくなります。 //





(260) 式の

$$(356) \quad F_{\mu\nu}^a = \partial_\mu A_\nu^a - \partial_\nu A_\mu^a - gf^{abc} A_\mu^b A_\nu^c$$

を思い起せば

$$(357) \quad -\frac{1}{4} F_{\mu\nu}^a F^{a\mu\nu} = -\frac{1}{4} (\partial_\mu A_\nu^a - \partial_\nu A_\mu^a - gf^{abc} A_\mu^b A_\nu^c) (\partial^\mu A^{\nu a} - \partial^\nu A^{\mu a} - gf^{abc'} A^{\mu b'} A^{\nu c'})$$

$$= -\frac{1}{4} (\partial_\mu A_\nu^a - \partial_\nu A_\mu^a) (\partial^\mu A^{\nu a} - \partial^\nu A^{\mu a})$$

$$+ \frac{g}{2} f^{abc} (\partial^\mu A^{\nu a} - \partial^\nu A^{\mu a}) A_\mu^b A_\nu^c$$

$$- \frac{g^2}{4} f^{abc} f^{abc'} A_\mu^b A_\nu^c A^{\mu b'} A^{\nu c'}$$

のように交差項 (ggg結合) だけ符号が違ふのがあたりまえなのに、

何でまちがえたのか分かりません。申(訳け)ごさいませんでした。

結果、(290)式のサイン、(291)式のファインマン規則のサインが合っており、

振幅 (307) と (308) で  $f^{a_1 a_2 a}$  を  $-f^{a_1 a_2 a}$  と置き換えなければ

なりません。その結果 (354) 式の  $g^2$  項の符号がマイナスになります。

(355) 式で  $g^2$  項は相殺し、残りは

$$(358) \quad (355) \xrightarrow{\text{エラー訂正後}} \bar{u}(k_3, \lambda_3) \left\{ \frac{2}{s} (k_1 + k_2) k_1^{\mu_2} \right\} v(k_4, \lambda_4) \epsilon_{\mu_2}(k_2, \lambda_2)$$

$$= \bar{u}(k_3, \lambda_3) (-k_3 + k_4) v(k_4, \lambda_4) \frac{2}{s} k_1^{\mu_2} \epsilon_{\mu_2}$$

$$= \bar{u}(k_3, \lambda_3) \left[ \underbrace{(-k_3 - m)}_{\substack{\leftarrow \\ 0}} + \underbrace{(k_4 + m)}_{\substack{\leftarrow \\ 0}} \right] v(k_4, \lambda_4) \frac{2}{s} k_1^{\mu_2} \epsilon_{\mu_2}$$

$$= 0$$

私の特殊な Light cone ゲージでは [p. 60, (106)-(108) 参]  $k \cdot \varepsilon_2 = 0$  (334) だが

これは 2 グルオン衝突の重心系でしか成立しないので、運動方程式を使う

ことが必要です。エラーを整理すると。

(359) p. 101 (279c) 3 グルオン結合の符号が逆 [  $\mathcal{L}_{QCD}$  ]

p. 104 (290), (291) " [ フォインマン規則 ]

p. 108 (307), (308) " [  $f^{a_1 a_2 a} \rightarrow f^{a_1 a_2 a} \times (-1)$  ]

p. 124 (354), (355) " [  $\frac{2}{3} \gamma^M \rightarrow \frac{2}{3} \gamma^M \times (-1)$  ]

となります。エラーばかりで本当に申し分なく思っています。

散乱振幅で

$$(360) \quad \varepsilon^\mu(k, \lambda) \rightarrow k^\mu$$

の置き換えをした時のゲージ不変性のテストが、いかに重要か

を理解していただけでは不幸中の幸いです。過去、私は、この

テストをせずに計算結果を発表したことは無いと思います。

外線はゲージボソンが無いは、わざわざ光るヤグルオンを

放出させてテストしました。

それにしてもひどいエラーでした。目が悪くなったのかな mm

と言、て頭が悪くなったのを隠そうと思います。 //

(354) 式にもとります。エラ-を訂正して

$$\begin{aligned}
 (361) \hat{N}_{\lambda_1, \lambda_2}^{\lambda_3, \lambda_4} &= \bar{u}(k_3, \lambda_3) \left\{ \frac{\gamma^{\mu_1} (k_3 - k_1 + m) \gamma^{\mu_2}}{2k_1 k_3} - \frac{\gamma^{\mu_2} (k_1 - k_4 + m) \gamma^{\mu_1}}{2k_1 k_4} \right. \\
 &\quad \left. + \gamma^{\mu} \frac{2}{5} [(k_1 - k_2)_{\mu} g^{\mu_1 \mu_2} + 2k_2^{\mu_1} g_{\mu}^{\mu_2} - 2k_1^{\mu_2} g_{\mu}^{\mu_1}] \right\} v(k_4, \lambda_4) \\
 &\quad \times \varepsilon_{\mu_1}(k_1, \lambda_1) \varepsilon_{\mu_2}(k_2, \lambda_2) \\
 &= \bar{u}(k_3, \lambda_3) \left\{ \left( \frac{k_3^{\mu_1}}{k_1 k_3} + \frac{k_4^{\mu_1}}{k_1 k_4} \right) \gamma^{\mu_2} - \frac{\gamma^{\mu_1} k_3 \gamma^{\mu_2}}{2k_1 k_3} - \frac{\gamma^{\mu_2} k_1 \gamma^{\mu_1}}{2k_1 k_4} \right. \\
 &\quad \left. - \frac{2}{5} [(k_1 - k_2)_{\mu} g^{\mu_1 \mu_2} + 2k_2^{\mu_1} g_{\mu}^{\mu_2} - 2k_1^{\mu_2} g_{\mu}^{\mu_1}] \right\} v(k_4, \lambda_4) \varepsilon_{\mu_1}(k_1, \lambda_1) \varepsilon_{\mu_2}(k_2, \lambda_2)
 \end{aligned}$$

∴ (324), (325) 式と。  $k_2 \cdot \varepsilon_1 = k_1 \cdot \varepsilon_2 = k_1 \cdot \varepsilon_1 = k_2 \cdot \varepsilon_2 = 0$  を使,  $\varepsilon_1 \cdot \varepsilon_2$  と。

$$\begin{aligned}
 (362) \hat{N}_{\lambda_1, \lambda_2}^{\lambda_3, \lambda_4} &= \bar{u}(k_3, \lambda_3) \left\{ \left( \frac{k_3^{\mu_1}}{k_1 k_3} + \frac{k_4^{\mu_1}}{k_1 k_4} \right) \gamma^{\mu_2} + g^{\mu_1 \mu_2} \left( \frac{k_1}{2k_1 k_3} + \frac{k_1}{2k_1 k_4} \right) - i \varepsilon^{\alpha \mu_1 \mu_2 \beta} \gamma_5 k_{1\alpha} \left( \frac{1}{2k_1 k_3} - \frac{1}{2k_1 k_4} \right) \right. \\
 &\quad \left. - \frac{2}{5} (k_1 - k_2)_{\mu} g^{\mu_1 \mu_2} \right\} v(k_4, \lambda_4) \varepsilon_{\mu_1}(k_1, \lambda_1) \varepsilon_{\mu_2}(k_2, \lambda_2) \\
 &= \left( \frac{k_3 \cdot \varepsilon_1}{k_1 k_3} + \frac{k_4 \cdot \varepsilon_1}{k_1 k_4} \right) J \cdot \varepsilon_2 + \left( \frac{1}{2k_1 k_3} + \frac{1}{2k_1 k_4} \right) (k_1 \cdot J) (\varepsilon_1 \cdot \varepsilon_2) \\
 &\quad - \frac{2}{5} (k_1 - k_2) \cdot J (\varepsilon_1 \cdot \varepsilon_2) - i \varepsilon_{\alpha \mu_1 \mu_2 \beta} k_1^{\alpha} \varepsilon_1^{\mu_1} \varepsilon_2^{\mu_2} J^{\beta} \left( \frac{1}{2k_1 k_3} - \frac{1}{2k_1 k_4} \right)
 \end{aligned}$$

∴ (362) (363) 式と。  $(k_1 + k_2) \cdot J = 0 \Rightarrow (k_1 - k_2) \cdot J = (2k_1 - k_1 - k_2) \cdot J = 2k_1 \cdot J$  を用いて

$$\begin{aligned}
 (363) \hat{N}_{\lambda_1, \lambda_2}^{\lambda_3, \lambda_4} &= \left( \frac{1}{2k_1 k_3} + \frac{1}{2k_1 k_4} - \frac{4}{5} \right) (k_1 \cdot J) (\varepsilon_1 \cdot \varepsilon_2) \\
 &\quad + \left( \frac{1}{k_1 k_3} - \frac{1}{k_1 k_4} \right) \left[ (k_3 \cdot \varepsilon_1) (J \cdot \varepsilon_2) + \frac{1}{2i} \varepsilon_{\alpha \mu_1 \mu_2 \beta} k_1^{\alpha} \varepsilon_1^{\mu_1} \varepsilon_2^{\mu_2} J^{\beta} \right]
 \end{aligned}$$

上で (334) を使った。 (334) - (337) で全ての項の計算が終わった。

kinematical factor E に対する計算は完了。

$$(364a) \quad \frac{1}{2k_1 k_3} + \frac{1}{2k_1 k_4} - \frac{4}{5} = \frac{1}{2E^2(1-\beta \cos \theta)} + \frac{1}{2E^2(1+\beta \cos \theta)} - \frac{4}{4E^2}$$

$$= \frac{1}{2E^2} \left( \frac{1}{1-\beta \cos \theta} + \frac{1}{1+\beta \cos \theta} - 2 \right)$$

$$= \frac{1}{2E^2} \frac{1+\beta \cos \theta + 1-\beta \cos \theta - 2 + 2\beta^2 \cos^2 \theta}{(1-\beta^2 \cos^2 \theta)} = \frac{\beta^2}{E^2} \frac{\cos^2 \theta}{1-\beta^2 \cos^2 \theta}$$

$$(364b) \quad \frac{1}{k_1 k_3} - \frac{1}{k_1 k_4} = \frac{1}{E^2(1-\beta \cos \theta)} - \frac{1}{E^2(1+\beta \cos \theta)}$$

$$= \frac{1}{E^2} \left( \frac{1}{1-\beta \cos \theta} - \frac{1}{1+\beta \cos \theta} \right)$$

$$= \frac{1}{E^2} \frac{1+\beta \cos \theta - (1-\beta \cos \theta)}{1-\beta^2 \cos^2 \theta} = \frac{2\beta}{E^2} \frac{\cos \theta}{1-\beta^2 \cos^2 \theta}$$

$$(365) \quad \hat{N}_{\lambda_1 \lambda_2}^{\lambda_3 \lambda_4} = \frac{\beta \cos \theta}{E^2(1-\beta^2 \cos^2 \theta)} \left\{ \beta \cos \theta (k_i \cdot J)(\epsilon_i \cdot \epsilon_j) + 2[(k_3 \cdot \epsilon_1)(J \cdot \epsilon_2) + \frac{1}{2i} \epsilon_{\alpha\mu\gamma\nu} p^\alpha k_1^\mu \epsilon_1^\nu \epsilon_2^\gamma J^\nu \cdot \epsilon_2^\beta] \right\}$$

$$(366) \quad \hat{N}_{\lambda\lambda}^{\sigma\sigma} = \frac{\beta \cos \theta}{E^2(1-\beta^2 \cos^2 \theta)} \left\{ \beta \cos \theta (-2mE\sigma \cos \theta) + 2 \left[ \frac{E\beta}{\sqrt{2}} \sin \theta \lambda (-\sqrt{2} m \sigma \lambda \sin \theta) - X m E \lambda \right] \right\}$$

$$= \quad \left\{ -2mE\sigma\beta \cos^2 \theta - 2mE\sigma\beta \sin^2 \theta - \frac{2}{\sqrt{2}} m E \lambda \right\}$$

$$= -2mE \frac{\beta \cos \theta}{E^2(1-\beta^2 \cos^2 \theta)} \left\{ \sigma\beta + \lambda \right\}$$

$$= -\lambda (1 + \lambda \sigma \beta) \frac{2m\beta \cos \theta}{E(1-\beta^2 \cos^2 \theta)}$$

から -- 重複の (349) 式と似てゐるが、 $\cos \theta$  項が  $\sin \theta$  と交換を表してゐる。

$$(367) \quad \hat{N}_{\lambda\lambda}^{\sigma, -\sigma} = \frac{\beta \cos \theta}{E^2(1-\beta^2 \cos^2 \theta)} \left\{ \beta \cos \theta \cdot 2E^2 \sin \theta + 2 \cdot \frac{E\beta}{\sqrt{2}} \sin \theta \lambda \sqrt{2} E \sigma (1 - \sigma \lambda \cos \theta) - 2E^2 \beta \sigma \lambda \sin \theta \right\}$$

$$= \frac{\beta \cos \theta}{E^2(1-\beta^2 \cos^2 \theta)} 2E^2 \beta \left\{ \cos \theta \sin \theta + \lambda \sigma \sin \theta - \sin \theta \cos \theta - \sigma \lambda \sin \theta \right\}$$

$$= 0$$

すなわち (349) 式と同じ。同様に  $\hat{N}_{\lambda\lambda}^{\sigma, -\sigma}$  の計算も、異なる  $\hat{N}_{\lambda\lambda}^{\sigma, -\sigma}$  の  $\sigma$  と  $\lambda$  を交換して行ふ。

$$\begin{aligned}
 (368) \quad \hat{N}_{\lambda, -\lambda}^{\sigma\sigma} &= \frac{2\beta \cos\theta}{E^2(1-\beta^2 \cos^2\theta)} (k_3 \cdot \varepsilon_1)_\lambda (J \cdot \varepsilon_2)_{-\lambda}^{\sigma\sigma} \\
 &= \frac{2\beta \cos\theta}{E^2(1-\beta^2 \cos^2\theta)} \cdot \frac{E\beta}{\sqrt{2}} \sin\theta \lambda \cdot (-\sqrt{2} m \sigma (-\lambda) \sin\theta) \\
 &= \sigma \cdot \frac{2m\beta^2}{E} \frac{\cos\theta \sin^2\theta}{1-\beta^2 \cos^2\theta}
 \end{aligned}$$

$$\begin{aligned}
 (369) \quad \hat{N}_{\lambda, -\lambda}^{\sigma, -\sigma} &= \frac{2\beta \cos\theta}{E^2(1-\beta^2 \cos^2\theta)} \cdot \frac{E\beta}{\sqrt{2}} \sin\theta \lambda \cdot \sqrt{2} E \sigma (1 + \sigma \lambda \cos\theta) \\
 &= \sigma \lambda \cdot 2\beta^2 \frac{\cos\theta \sin\theta (1 + \sigma \lambda \cos\theta)}{1-\beta^2 \cos^2\theta}
 \end{aligned}$$

$E \gg m$  極限では (369) は 4 粒子の

$$(370) \quad \hat{N}_{\lambda, -\lambda}^{\sigma, -\sigma} \xrightarrow{\beta \rightarrow 1} \sigma \lambda \cdot 2 \cos\theta \cdot \frac{1 + \sigma \lambda \cos\theta}{\sin\theta}$$

(366) - (370) を カラ-1 重項 (QED 項) の (348) - (353) と 較べる。

全ての  $\Lambda$  の 1 重項 - 振幅は 211 2

$$(371) \quad \hat{N}_{\lambda_1 \lambda_2}^{\lambda_3 \lambda_4} = M_{\lambda_1 \lambda_2}^{\lambda_3 \lambda_4} \times \beta \cos\theta$$

が 成立しているようにです。これは 正 111 の かどうか、211 3

物理的意味があるのか、すぐには分かりません。正 111 の

どうかは、数値計算プログラムと比較するのがベストです。

MadGraph を使、テストしてください。

(372) <http://madgraph.hep.uiuc.edu>

$\hat{M}_{\lambda_1 \lambda_2}^{\lambda_3 \lambda_4}$  と  $\hat{N}_{\lambda_1 \lambda_2}^{\lambda_3 \lambda_4}$  の計算がとてあえず完了したので、p.116で予習した

カラー因子の説明をも3-度繰り返します。カラーの自由度も含めた

素過程は

$$(373) \quad g^a(k_1, \lambda_1) + g^b(k_2, \lambda_2) \rightarrow Q_i(k_3, \lambda_3) + \bar{Q}_j(k_4, \lambda_4)$$

と表され、振幅は

$$(374) \quad M_{ij}^{ab}(\lambda_1, \lambda_2, \lambda_3, \lambda_4) = \frac{1}{2} \{T^a, T^b\}_{ij} \hat{M}_{\lambda_1 \lambda_2}^{\lambda_3 \lambda_4} + \frac{1}{2} [T^a, T^b]_{ij} \hat{N}_{\lambda_1 \lambda_2}^{\lambda_3 \lambda_4}$$

です。振幅を自乗し、カラーとスピンのついて足しあげます。

$$(375) \quad \sum_{\text{color}} \sum_{\text{spin}} |M_{ij}^{ab}(\lambda_1, \lambda_2, \lambda_3, \lambda_4)|^2$$

$$= \sum_{i,j,a,b} \sum_{\lambda_1, \lambda_2, \lambda_3, \lambda_4} \left| \frac{1}{2} \{T^a, T^b\}_{ij} \hat{M}_{\lambda_1 \lambda_2}^{\lambda_3 \lambda_4} + \frac{1}{2} [T^a, T^b]_{ij} \hat{N}_{\lambda_1 \lambda_2}^{\lambda_3 \lambda_4} \right|^2$$

(374)式のカラー因子のベースでは、一方が  $a \leftrightarrow b$  で対称、多方が反対称

なので、交差項は残りません。従ってこのベースを使えば

$$(376) \quad \sum_{\text{color}} \sum_{\text{spin}} |M|^2 = \sum_{i,j,a,b} \underbrace{\left| \frac{1}{2} \{T^a, T^b\}_{ij} \right|^2}_{\text{color}} \sum_{\lambda_i} \underbrace{|\hat{M}_{\lambda_1 \lambda_2}^{\lambda_3 \lambda_4}|^2}_{\text{spin}} + \sum_{i,j,a,b} \underbrace{\left| \frac{1}{2} [T^a, T^b]_{ij} \right|^2}_{\text{color}} \sum_{\lambda_i} \underbrace{|\hat{N}_{\lambda_1 \lambda_2}^{\lambda_3 \lambda_4}|^2}_{\text{spin}}$$

$$= \frac{14}{3} \sum_{\lambda_i} |\hat{M}_{\lambda_1 \lambda_2}^{\lambda_3 \lambda_4}|^2 + 6 \sum_{\lambda_i} |\hat{N}_{\lambda_1 \lambda_2}^{\lambda_3 \lambda_4}|^2$$

となります。上の式で  $\frac{14}{3}$ , 6等の項を、カラー因子と呼びます。

カラーとスピンについて平均した断面積は

$$(377) \quad d\sigma = \underbrace{\frac{1}{2s}}_{\text{flux}} \cdot \underbrace{\frac{1}{2} \cdot \frac{1}{2}}_{\substack{\text{クォーク} \\ \text{スピンの} \\ \text{平均}}} \cdot \underbrace{\frac{1}{8} \cdot \frac{1}{8}}_{\substack{\text{クォーク} \\ \text{カラーの} \\ \text{平均}}} \cdot \underbrace{\sum_{\text{color}} \sum_{\text{spin}} |M_{ij}^{ab}(\lambda_1, \lambda_2, \lambda_3, \lambda_4)|^2}_{(376) \text{式}} \cdot \underbrace{\frac{\beta}{8\pi} \frac{d\cos\theta}{2}}_{\text{2体の phase space}}$$

となります。 (319) と (320) 式では、カラーの平均項  $(1/(N^2-1))^2$  をかけた因子を

カラー因子と呼びましたが、今後は、カラーの和だけを実行した因子、

(376) 式の  $\frac{14}{3}$  などをカラー因子と呼びます。この定義により、

カラー因子は、同一の振幅から作られる全ての交差チャンネルで共通になるかです。例えば、

$$(378) \quad gg \rightarrow g\bar{g}, \quad g\bar{g} \rightarrow gg, \quad g\bar{g} \rightarrow g\bar{g}, \quad g\bar{g} \rightarrow g\bar{g}$$

のカラー因子は全て共通になります。平均の因子は、 $gg$  が  $(1/8)^2$ 、

$g\bar{g}$  が  $(1/3)^2$ 、 $g\bar{g}$  と  $g\bar{g}$  が  $(1/8)(1/3)$  となるわけです。

p. 116 で説明したように、(374) 式のカラーベースのとり方は、EW 過程

(カラー1重項のスピンゼロ粒子交換過程) との干渉が  $a \leftrightarrow b$  対称項

に限られるので便利です。実際、

$$(379) \quad M_{ij}^{ab}(\lambda_k) = \frac{1}{2} \{T^a, T^b\}_{ij} \overset{\wedge}{M}_{\lambda_1 \lambda_2}^{\lambda_3 \lambda_4} + \frac{1}{2} [T^a, T^b]_{ij} \overset{\wedge}{N}_{\lambda_1 \lambda_2}^{\lambda_3 \lambda_4} + \delta_{ij} \delta^{ab} \overset{\wedge}{L}_{\lambda_1 \lambda_2}^{\lambda_3 \lambda_4}$$

↑  
EW 振幅

とすると、p. 116 の計算で

$$(380) \sum_{\text{color}} \sum_{\text{spin}} |M_{ij}^{ab}(\lambda_k)|^2 = \frac{14}{3} \sum_{\lambda_k} |\hat{M}_{\lambda_1 \lambda_2}^{\lambda_3 \lambda_4}|^2 + 8 \sum_{\lambda_k} \text{Re} \left[ (\hat{L}_{\lambda_1 \lambda_2}^{\lambda_3 \lambda_4}) (\hat{M}_{\lambda_1 \lambda_2}^{\lambda_3 \lambda_4})^* \right] \\ + 6 \sum_{\lambda_k} |\hat{N}_{\lambda_1 \lambda_2}^{\lambda_3 \lambda_4}|^2 + 24 \sum_{\lambda_k} |\hat{L}_{\lambda_1 \lambda_2}^{\lambda_3 \lambda_4}|^2$$

となるわけです。断面積は (377) に代入するだけです。

前回の講義で Yang の定理についての質問がありました。

(381) Yang's Theorem: 質量ゼロの同種ベクトルボソンの対はスピン 1 を作れない。

この定理により、 $Z \rightarrow \gamma\gamma$  は厳密に禁止されます。ボース統計による対称化と角運動量の和の法則との不一致が本質的なので、

同種でなければ ( $g^{*a} \rightarrow g^b + g^c; f^{abc} \neq 0$ ) OK だし、 $Z \rightarrow \gamma\gamma^*\gamma$

$Z \rightarrow \gamma\gamma^*$  も全く問題ありません。面白い例として、

(382)  $\left\{ \begin{array}{l} (\text{スピン } 1) \rightarrow ZZ \text{ が 日笠さんの論文 [PRD35, 3366 (1987) E D38, 1632 (1988)]} \\ Z \rightarrow \gamma\gamma, \gamma\gamma\gamma \text{ が 私の論文 [PLB570, 39 (2003)]} \end{array} \right.$

にあります。重いベクトルボソンの場合、同種粒子であるとき、一方が横波、他方が縦波であれば OK なのです。残念なのは、私達が計算した  $Z \rightarrow \gamma\gamma\gamma$  の分岐比は、小さすぎて見えません。//



上の例の様に、カラーのハースを直交するよりにとることが便利な場合もあるのですが [この方針で元張張, た例としては私の論文, NPB313, 560 (1989) 等があります], 一般的には  $SU(3)$  の generator  $T^a$  を並ハースだけのハースを使うことが多いようです。一般に任意の振幅をカラーハースで展開し,

$$(383) \quad M = \sum_{i=1}^n T^i \hat{M}_i$$

とすると、カラーの和は

$$(384) \quad \sum_{color} \sum_{spin} |M|^2 = \sum_{color} \sum_{spin} \left| \sum_{i=1}^n T^i \hat{M}_i \right|^2 \\ = \sum_{i=1}^n \sum_{j=1}^n \left[ \sum_{color} T^i (T^j)^* \right] \left[ \sum_{spin} \hat{M}_i (\hat{M}_j)^* \right]$$

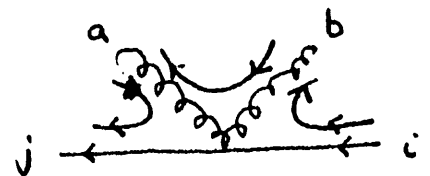
となります。このときの

$$(385) \quad C^{ij} \equiv \sum_{color} T^i (T^j)^*$$

をカラー因子行列と呼び、あらかじめ計算しておくことが多いようです。  $T^i$  を generator の積で表わすハースでは、行列  $C$  の対角要素  $C^{ii}$  が large  $N$  極限で leading であるため、

カラーの流れをイベント (確率事象) について付与することができます。

$$(386) \quad \text{例} \quad \sum |(\hat{T}^a \hat{T}^b)_{ji}|^2 = \text{tr}(\hat{T}^a \hat{T}^b \hat{T}^b \hat{T}^a) \\ \sim (N^2 - 1)^2$$



非対角要素  $C^{ij}$  ( $i \neq j$ ) は  $C^{ii}$  に較べて  $1/N^2$  で小さいよです。

Weight のとり方として、たとえば、QCD の予言 (384) を

$$(387) \quad \sum_{\text{color}} \sum_{\text{spin}} |M|^2 = \sum_i \sum_j C^{ij} W_{ij}$$

と置くと、

$$(388) \quad \frac{C^{jj} W_{jj}}{\sum_{i=1}^n C^{ii} W_{ii}} = P_j$$

で分配すれば

$$(389) \quad \sum_{j=1}^n P_j = 1$$

なので「正しい」全断面積が得られ、且つ、 $P_j$  の確率で、

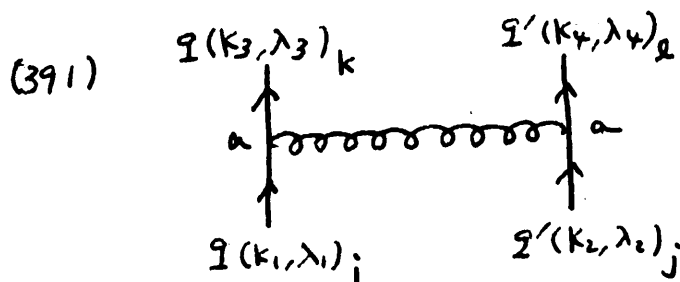
$C^{jj}$  のカラーフローを指定することができます。

実際の MC でどうしているかは、これから教えていたたこと  
思っています。

$$qq' \rightarrow qq'$$

$$(390) \quad q(k_1, \lambda_1)_i + q'(k_2, \lambda_2)_j \rightarrow q(k_3, \lambda_3)_k + q'(k_4, \lambda_4)_l$$

の計算をしよう。  $m_2 = m_{2'} = 0$  としよう。 Feynman 図は



$m_2 = m_{2'} = 0$  の Dirac-保存則より

$$(392) \quad \lambda_1 = \lambda_3 = \lambda, \quad \lambda_2 = \lambda_4 = \lambda'$$

なので、振幅を

$$(393) \quad M = T_{ki}^a T_{lj}^a \hat{M}_{\lambda\lambda'}$$

と表す。 Feynman 則より

$$(394) \quad iM = \bar{u}(k_3, \lambda) (-ig T_{ki}^a \gamma^\mu) u(k_1, \lambda) \frac{-ig_{\mu\nu}}{(k_1 - k_3)^2} \bar{u}(k_4, \lambda') (-ig T_{lj}^a \gamma^\nu) u(k_2, \lambda')$$

$$(395) \quad \hat{M}_{\lambda\lambda'} = \frac{g^2}{t} \bar{u}(k_3, \lambda) \gamma^\mu u(k_1, \lambda) \bar{u}(k_4, \lambda') \gamma_\mu u(k_2, \lambda') \\ \equiv \frac{g^2}{t} J_\lambda^\mu \cdot J_{\lambda'\mu}$$

$$\text{但し } t = (k_1 - k_3)^2 = -2k_1 k_3$$

$$\begin{aligned}
 (396) \quad k_1^\mu &= E(1, 0, 0, 1) \\
 k_2^\mu &= E(1, 0, 0, -1) \\
 k_3^\mu &= E(1, \sin\theta, 0, \cos\theta) & [\phi = 0] \\
 k_4^\mu &= E(1, -\sin\theta, 0, -\cos\theta) & [\phi = \pi]
 \end{aligned}$$

と 1± と き に t-channel の 力 に 対 して

$$\begin{aligned}
 (397a) \quad J_\lambda^\mu(k_1, k_3) &= \bar{u}(k_3, \lambda) \delta^\mu u(k_1, \lambda) \\
 &= \sum_\alpha u(k_3, \lambda)_\alpha^\dagger \sigma_\alpha^\mu u(k_1, \lambda)_\alpha & [\alpha = \pm : \text{chirality}] \text{ p. 86 (232)} \\
 &= u(k_3, \lambda)_\lambda^\dagger \sigma_\lambda^\mu u(k_1, \lambda)_\lambda & [\lambda = \alpha \text{ rule for } m_1 = 0] \\
 &= 2E \chi_\lambda^\dagger(\vec{k}_3) \sigma_\lambda^\mu \chi_\lambda(\vec{k}_1)
 \end{aligned}$$

$$\begin{aligned}
 (397b) \quad J_{\lambda'}^\mu(k_2, k_4) &= \bar{u}(k_4, \lambda') \delta^\mu u(k_2, \lambda') \\
 &= 2E \chi_{\lambda'}^\dagger(\vec{k}_4) \sigma_{\lambda'}^\mu \chi_{\lambda'}(\vec{k}_2)
 \end{aligned}$$

∴  $\chi_\lambda(\vec{k}_1)$  と  $\chi_{\lambda'}(\vec{k}_2)$  は p. 87 (234) ;  $\chi_\lambda(\vec{k}_3)$  と  $\chi_{\lambda'}(\vec{k}_4)$  は p. 88 (239) にあるのと

$$\begin{aligned}
 (398a) \quad J_+^\mu(k_1, k_3) &= 2E \chi_+(\vec{k}_3)^\dagger \sigma_+^\mu \chi_+(\vec{k}_1) = 2E (\cos\frac{\theta}{2}, \sin\frac{\theta}{2}) [1, \vec{\sigma}] \begin{pmatrix} 1 \\ 0 \end{pmatrix} \\
 &= 2E (\cos\frac{\theta}{2}, \sin\frac{\theta}{2}) \left[ \begin{pmatrix} 1 \\ 0 \end{pmatrix}, \begin{pmatrix} 0 \\ 1 \end{pmatrix}, \begin{pmatrix} 0 \\ i \end{pmatrix}, \begin{pmatrix} 1 \\ 0 \end{pmatrix} \right] = 2E (\cos\frac{\theta}{2}, \sin\frac{\theta}{2}, i \sin\frac{\theta}{2}, \cos\frac{\theta}{2})
 \end{aligned}$$

$$(398b) \quad J_-^\mu(k_1, k_3) = 2E (-\sin\frac{\theta}{2}, \cos\frac{\theta}{2}) [1, -\vec{\sigma}] \begin{pmatrix} 0 \\ 1 \end{pmatrix} = 2E (\cos\frac{\theta}{2}, \sin\frac{\theta}{2}, -i \sin\frac{\theta}{2}, \cos\frac{\theta}{2})$$

$$(398c) \quad J_+^\mu(k_2, k_4) = 2E (\sin\frac{\theta}{2}, -\cos\frac{\theta}{2}) [1, \vec{\sigma}] \begin{pmatrix} 0 \\ 1 \end{pmatrix} = 2E (-\cos\frac{\theta}{2}, \sin\frac{\theta}{2}, -i \sin\frac{\theta}{2}, \cos\frac{\theta}{2})$$

$$(398d) \quad J_-^\mu(k_2, k_4) = 2E (\cos\frac{\theta}{2}, \sin\frac{\theta}{2}) [1, -\vec{\sigma}] \begin{pmatrix} -1 \\ 0 \end{pmatrix} = 2E (-\cos\frac{\theta}{2}, \sin\frac{\theta}{2}, i \sin\frac{\theta}{2}, \cos\frac{\theta}{2})$$

$$(399a) J_{\lambda}^{\mu}(k_1, k_3) = 2E \left( \cos \frac{\theta}{2}, \sin \frac{\theta}{2}, \lambda \sin \frac{\theta}{2}, \cos \frac{\theta}{2} \right)$$

$$(399b) J_{\lambda'}^{\mu}(k_2, k_4) = -2E \left( \cos \frac{\theta}{2}, -\sin \frac{\theta}{2}, \lambda' \sin \frac{\theta}{2}, -\cos \frac{\theta}{2} \right)$$

振幅 (395) は

$$\begin{aligned} (400) \hat{M}_{\lambda\lambda'} &= \frac{g^2}{t} J_{\lambda}(k_1, k_3) \cdot J_{\lambda'}(k_2, k_4) \\ &= g^2 \left( -\frac{s}{t} \right) \left( \cos^2 \frac{\theta}{2} + \sin^2 \frac{\theta}{2} - (-\lambda\lambda') \sin^2 \frac{\theta}{2} + \cos^2 \frac{\theta}{2} \right) \\ &= 2g^2 \left( -\frac{s}{t} \right) \left[ \cos^2 \frac{\theta}{2} + \delta_{\lambda\lambda'} \sin^2 \frac{\theta}{2} \right] \\ &= g^2 \left( -\frac{s}{t} \right) \times \begin{cases} 2 & \dots \lambda = \lambda' \quad (\lambda_1 = \lambda_2 = \lambda_3 = \lambda_4) \\ 1 + \cos \theta & \dots \lambda = -\lambda' \quad (\lambda_1 = -\lambda_2 = \lambda_3 = -\lambda_4) \end{cases} \end{aligned}$$

カラーとスピンの和をとると

$$\begin{aligned} (401) \sum_{\text{color}} \sum_{\text{spin}} |M|^2 &= \sum_{k_i, \lambda_i, j, a, b} (T_{ki}^a T_{aj}^a) (T_{ik}^b T_{jl}^b) \sum_{\lambda\lambda'} |\hat{M}_{\lambda\lambda'}|^2 \\ &= \left( \text{tr}(T^a T^b) \right)^2 4g^4 \left( \frac{s}{t} \right)^2 \left[ 1 + \left( \frac{1 + \cos \theta}{2} \right)^2 \right] \times 2 \\ &= \frac{T_F^2 (N^2 - 1)}{2} g^4 \frac{16}{(1 - \cos \theta)^2} \left[ 1 + \left( \frac{1 + \cos \theta}{2} \right)^2 \right] \times 2 \\ & \qquad \qquad \qquad \uparrow \\ & \qquad \qquad \qquad (\lambda = \lambda' = \pm) \\ & \qquad \qquad \qquad (\lambda = -\lambda' = \pm) \end{aligned}$$

カラーとスピンの平均を1断面面積は

$$\begin{aligned} (402) d\sigma &= \frac{1}{2s} \cdot \frac{1}{2} \cdot \frac{1}{2} \cdot \frac{1}{3} \cdot \frac{1}{3} \cdot 2 \cdot \frac{32 g^4}{(1 - \cos \theta)^2} \left[ 1 + \left( \frac{1 + \cos \theta}{2} \right)^2 \right] \cdot \frac{1}{8\pi} \cdot \frac{d\cos \theta}{2} \\ &= \frac{T_F^2 (N^2 - 1)}{N^2} \cdot \frac{4\pi ds^2}{s} \frac{1}{(1 - \cos \theta)^2} \left[ 1 + \left( \frac{1 + \cos \theta}{2} \right)^2 \right] d\cos \theta \\ &= \frac{2}{9} \end{aligned}$$

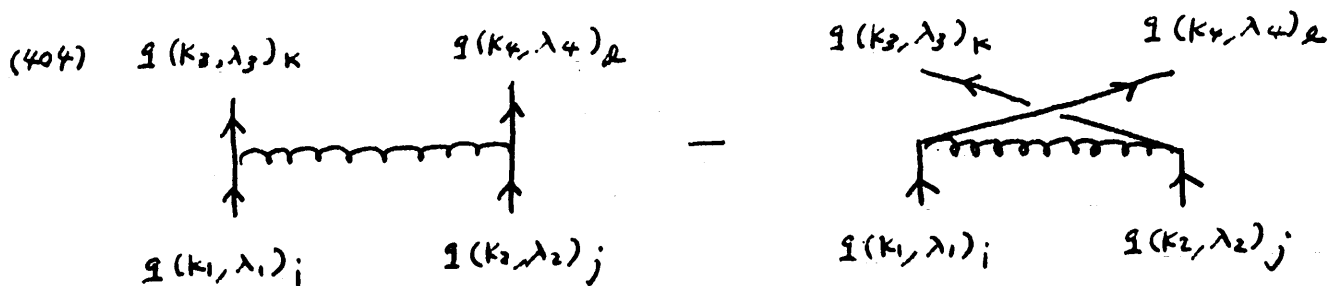
正しい答えは合、ていませうか？

$q\bar{q} \rightarrow q\bar{q}$  :

ここで、 $q = q'$  (同種粒子:  $u\bar{u} \rightarrow u\bar{u}$  など) の場合を扱っておきます。

(403)  $q(k_1, \lambda_1)_i + q(k_2, \lambda_2)_j \rightarrow q(k_3, \lambda_3)_k + q(k_4, \lambda_4)_l$

となります。Feynman 図は



で [相対符号の - は フェルミ演算子  $a_{k,\lambda}, a_{k,\lambda}^\dagger$  等の反交換関係の結果です。

納得していい方は是非  $\langle 0 | a_{k_4} a_{k_3} \int d^4x \mathcal{L}_I \int d^4y \mathcal{L}_I a_{k_1}^\dagger a_{k_2}^\dagger | 0 \rangle$  を計算して

納得してください。] 振幅は  $t = -s \frac{1-\cos\theta}{2}, u = -s \frac{1+\cos\theta}{2}$  として

(405)  $M = T_{k_i}^a T_{k_j}^a \cdot \frac{g^2}{t} \cdot [\delta_{\lambda_1 \lambda} \delta_{\lambda_3 \lambda} \delta_{\lambda_2 \lambda'} \delta_{\lambda_4 \lambda'}] \cdot J_\lambda(k_1, k_3) \cdot J_{\lambda'}(k_2, k_4)$   
 $- T_{k_j}^b T_{k_i}^b \cdot \frac{g^2}{u} \cdot [\delta_{\lambda_1 \lambda} \delta_{\lambda_4 \lambda} \delta_{\lambda_2 \lambda'} \delta_{\lambda_3 \lambda'}] \cdot J_\lambda(k_1, k_4) \cdot J_{\lambda'}(k_2, k_3)$

まず干渉するのは

(406)  $\lambda_1 = \lambda_2 = \lambda_3 = \lambda_4 = \lambda = \lambda' = \pm$

のときに限ることを確認して下さい。

(407)  $\lambda_1 = -\lambda_2 = \pm$

のときは干渉がないので、(402)式は単に  $\cos\theta$  と  $-\cos\theta$  の平均に

なります。(406)のときは、干渉しますが、干渉項のカラ-因子は

$$(408) \sum_{ijk \in a, b} \sum_{\alpha, \beta} (T_{ki}^a T_{\alpha j}^a) (T_{jk}^b T_{i\alpha}^b) = \text{tr}(T^a T^b T^a T^b) = -T_F^2 \frac{N^2 - 1}{N} \quad ; (318)$$

となり、leading term (401)式の  $T_F^2(N^2-1)$  に較べて  $1/N$  で小さく、且つ符号がマイナスで

QEDの場合 ( $ee \rightarrow ee$  等) と較べ、干渉項の符号が逆、大きさが  $1/3$  と

なることが分かります。一筋縄では行きませんね。(400)に対応する振幅は

$$(409) \hat{M}_{\lambda\lambda'}^{(u)} \equiv \frac{g^2}{u} J_{\lambda}(k_1, k_+) \cdot J_{\lambda'}(k_2, k_3)$$

$$= g^2 \left(-\frac{s}{u}\right) \times \begin{cases} 2 & \dots \lambda_1 = \lambda_2 \quad (= \lambda_3 = \lambda_4) \\ 1 - \cos\theta & \dots \lambda_1 = -\lambda_2 \quad (= \lambda_4 = -\lambda_3) \end{cases}$$

カラーとスピンの和をとると、

$$(410) \sum_{\text{color spin}} \sum |M|^2 = \sum_{ijk \in a, b} \sum_{\lambda_1 \lambda_2 \lambda_3 \lambda_4} \left| T_{ki}^a T_{\alpha j}^a \hat{M}_{\lambda\lambda'} - T_{kj}^b T_{\alpha i}^b \hat{M}_{\lambda''\lambda'''}^{(u)} \right|^2$$

$$= T_F^2(N^2-1) \cdot 32 g^4 \cdot \left\{ \frac{4+(1+\cos\theta)^2}{4(1-\cos\theta)^2} + \frac{4+(1-\cos\theta)^2}{4(1+\cos\theta)^2} \right\}$$

$$- \left(-T_F^2 \frac{N^2-1}{N}\right) \cdot g^4 \frac{s^2}{tu} \cdot 2 \cdot 2 \times 2 \times 2 \quad \begin{matrix} \sqrt{\lambda_1 = \lambda_2 = \pm} \\ \uparrow A\bar{A} + \bar{A}A \end{matrix}$$

$$= T_F^2(N^2-1) \cdot 32 g^4 \cdot \left\{ \frac{4+(1+\cos\theta)^2}{4(1-\cos\theta)^2} + \frac{4+(1-\cos\theta)^2}{4(1+\cos\theta)^2} - \left(-\frac{1}{N}\right) \frac{2}{1-\cos^2\theta} \right\}$$

一応おぼろげですが自信がありません。QEDの場合 ( $ee \rightarrow ee$ ) は、

$T_F^2(N^2-1) \rightarrow 1$ ,  $(-\frac{1}{N}) \rightarrow 1$ ,  $g^4 \rightarrow e^4$  で良いはずですよ。

断面積は、同種粒子が2ヶある場合、phase space が半分

になるのでは？

$$(411) \quad 0 \leq \cos\theta \leq 1$$

同種粒子の場合だけ積分範囲を制限するのは面倒なので。

$$(411) \quad \int_0^1 d\cos\theta \rightarrow \frac{1}{2} \int_{-1}^1 d\cos\theta$$

として「統計因子」 $\frac{1}{2}$  を入れることが一般的のようです。

$$(412) \quad \frac{d\sigma}{d\cos\theta} \stackrel{qq \rightarrow qq}{=} = \frac{T_R^2 (N^2 - 1)}{N^2} \cdot \frac{4\pi d_s^2}{s} \\ \times \left\{ \frac{4 + (1 + \cos\theta)^2}{4(1 - \cos\theta)^2} + \frac{4 + (1 - \cos\theta)^2}{4(1 + \cos\theta)^2} - \left(-\frac{1}{N}\right) \frac{2}{1 - \cos^2\theta} \right\} \times \frac{1}{2}$$

$\underbrace{\hspace{10em}}_{(411)}$

この結果が正(どうか)かは是非、テキストや MadGraph を用いて check し。

結果を教えてください。エラーがある場合には check してついでに。

(372) の MadGraph は振幅の計算を HELAS で実行するので、HELAS 振幅のコードを

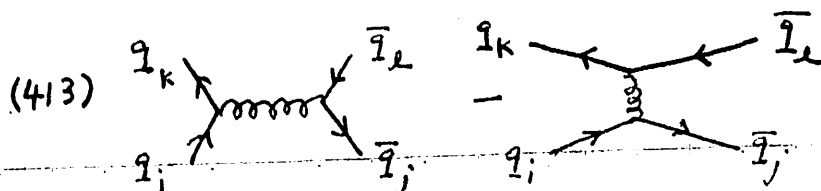
生成します。HELAS 振幅は糸の位相・ $t$ - $u$  交換に依っていろいろ。

全てのハリビティ-振幅の値が、符号や複素位相を含めて一致する(はず)です。

\*  $q\bar{q}' \rightarrow q\bar{q}'$  は (402) と同じになります。

\*  $q\bar{q} \rightarrow q\bar{q}$  は原理的には「消滅過程」の寄与があるのでしょうか。

その効果は数値的に極めて小さく、(402) で代用して問題ありません。



[練習問題としていい  
と思います。]



$g g \rightarrow g g$

次に  $g g \rightarrow g \bar{g}$  [p. 108 (307)] の交差過程

$$(414) \quad g(k_1, \lambda_1)_i + g^a(k_2, \lambda_2) \longrightarrow g(k_3, \lambda_3)_j + g^b(k_4, \lambda_4)$$

の計算をします。  $m_2 = 0$  です。 (308)式で  $(k_i, \lambda_i)$  と波動関数を取り替ると。

$$(415) \quad \begin{array}{c} g(k_3, \lambda_3)_j \\ \uparrow \\ g^b(k_4, \lambda_4) \\ \uparrow \\ g(k_1, \lambda_1)_i \\ \uparrow \\ g^a(k_2, \lambda_2) \end{array} + \begin{array}{c} k_3, j \\ \uparrow \\ g^b, \nu \\ \uparrow \\ k_4 \\ \uparrow \\ k_2 \\ \uparrow \\ k_1, i \\ \uparrow \\ g^a, \mu \end{array} + \begin{array}{c} k_3, j \\ \uparrow \\ g^b, \nu \\ \uparrow \\ k_4 \\ \uparrow \\ k_1, i \\ \uparrow \\ k_2 \\ \uparrow \\ k_4, \mu \end{array}$$

$$(416) \quad M = g^2 \bar{u}(k_3, \lambda_3) \left\{ -(T^b T^a)_{ji} \frac{\gamma^\nu (k_1 + k_2) \gamma^\mu}{(k_1 + k_2)^2} - (T^a T^b)_{ji} \frac{\gamma^\mu (k_1 - k_4) \gamma^\nu}{(k_1 - k_4)^2} \right. \\ \left. - i f^{abc} T_{ji}^c \frac{\gamma_\rho}{(k_1 - k_3)^2} \left[ (k_2 + k_4)^\rho g^{\mu\nu} + (-k_4 - k_2)^\rho g^{\nu\mu} + (k_1 - k_2)^\rho g^{\mu\nu} \right] \right\} u(k_1, \lambda_1) \epsilon_\mu(k_2, \lambda_2) \epsilon_\nu(k_4, \lambda_4)^*$$

せ、おこすから、今回は、「標準的」なカラー-ハ-ズ

$$(417) \quad M = (T^a T^b)_{ji} \hat{M}_I + (T^b T^a)_{ji} \hat{M}_{II}$$

を用いることにします。

$$(418) \quad i f^{abc} T_{ji}^c = [T^a, T^b]_{ji} = (T^a T^b)_{ji} - (T^b T^a)_{ji}$$

$$(419) \quad [ ]^{\mu\nu\rho} = (k_2 + k_4)^\rho g^{\mu\nu} - (2k_4 - k_2)^\rho g^{\nu\mu} + (k_4 - 2k_2)^\rho g^{\mu\nu} = (k_2 + k_4)^\rho g^{\mu\nu} - 2k_4^\rho g^{\nu\mu} - 2k_2^\rho g^{\mu\nu}$$

$$(420) \quad \hat{M}_I = g^2 \bar{u}(k_3, \lambda_3) \left\{ \frac{\gamma^\mu (k_1 - k_4) \gamma^\nu}{2k_1 k_4} + \frac{\gamma_\rho}{2k_1 k_3} \left[ (k_2 + k_4)^\rho g^{\mu\nu} - 2k_4^\rho g^{\nu\mu} - 2k_2^\rho g^{\mu\nu} \right] \right\} u(k_1, \lambda_1) \epsilon_\mu(k_2, \lambda_2) \epsilon_\nu(k_4, \lambda_4)^*$$

$$(421) \quad \hat{M}_{II} = g^2 \bar{u}(k_3, \lambda_3) \left\{ -\frac{\gamma^\nu (k_1 + k_2) \gamma^\mu}{2k_1 k_2} - \frac{\gamma_\rho}{2k_1 k_3} \left[ (k_2 + k_4)^\rho g^{\mu\nu} - 2k_4^\rho g^{\nu\mu} - 2k_2^\rho g^{\mu\nu} \right] \right\} u(k_1, \lambda_1) \epsilon_\mu(k_2, \lambda_2) \epsilon_\nu(k_4, \lambda_4)^*$$

よ、  $\hat{M}_I$  と  $\hat{M}_{II}$  が独立にゲージ不変であることを確認します。

$$\begin{aligned}
 (422) \hat{M}_I(\epsilon_\nu(k_4) \rightarrow k_{4\nu}) &\rightarrow \frac{\delta^\mu (k_1 - k_4) k_4}{2k_1 k_4} + \frac{\delta^\rho}{2k_1 k_3} [(k_2 + k_4)^\rho k_4^\mu - 2k_4^\mu k_4^\rho - 2k_2 \cdot k_4 g^{\rho\mu}] \\
 &= \frac{\delta^\mu k_1 k_4}{2k_1 k_4} + \frac{\delta^\rho}{2k_1 k_3} [(k_2 - k_4)^\rho k_4^\mu - (k_2 + k_4)^2 g^{\rho\mu}] \\
 &= \frac{\delta^\mu (2k_1 k_4 - k_4 k_1)}{2k_1 k_4} + \frac{\delta^\rho}{2k_1 k_3} [(k_3 - k_1)^\rho k_4^\mu - (k_1 + k_3)^2 g^{\rho\mu}] \\
 &= \delta^\mu - \frac{\delta^\mu k_4 k_1}{2k_1 k_4} + \frac{k_3 - k_1}{2k_1 k_3} k_4^\mu - \delta^\mu \\
 &= 0
 \end{aligned}$$

$$\begin{aligned}
 (423) \hat{M}_{II}(\epsilon_\mu(k_2) \rightarrow k_{2\mu}) &\rightarrow -\frac{\delta^\nu (k_1 + k_2) k_2}{2k_1 k_2} - \frac{\delta^\rho}{2k_1 k_3} [(k_2 + k_4)^\rho k_2^\nu - 2k_4 k_2 g^{\rho\nu} - 2k_2^\nu k_2^\rho] \\
 &= -\frac{\delta^\nu k_1 k_2}{2k_1 k_2} - \frac{\delta^\rho}{2k_1 k_3} [(k_4 - k_2)^\rho k_2^\nu - (k_2 + k_4)^2 g^{\rho\nu}] \\
 &= -\frac{\delta^\nu (2k_1 k_2 - k_2 k_1)}{2k_1 k_2} - \frac{k_1 - k_3}{2k_1 k_3} k_2^\nu + \frac{\delta^\nu}{2k_1 k_3} (k_1 + k_3)^2 \\
 &= -\delta^\nu + \delta^\nu = 0
 \end{aligned}$$

$\hat{M}_I$  と  $\hat{M}_{II}$  は  $N \rightarrow \infty$  で干渉せず [(408)参], 振幅のゲージ不変性は  $\square$  展開の

各オ-7-で保証されるためです。守心して  $\hat{M}_I$  と  $\hat{M}_{II}$  の計算をします。

$$\begin{aligned}
 (424) \hat{M}_I &= g^2 \bar{u}(k_3, \lambda_3) \left\{ \frac{\delta^\mu [2k_1^\nu - \delta^\nu k_1^\mu - k_4 \delta^\mu]}{2k_1 k_4} + \frac{\delta^\rho}{2k_2 k_4} [(k_2 + k_4)^\rho g^{\mu\nu} - 2k_4^\mu g^{\rho\nu} - 2k_2^\nu g^{\rho\mu}] \right\} u_1 \epsilon_{2\mu} \epsilon_{4\nu}^* \\
 &= g^2 \bar{u}_3 \left\{ -\frac{\delta^\mu k_4 \delta^\nu}{2k_1 k_4} + \delta^\mu \left( \frac{k_1^\nu}{k_1 k_4} - \frac{k_2^\nu}{k_2 k_4} \right) - \delta^\nu \frac{k_4^\mu}{k_2 k_4} + \frac{k_2 + k_4}{2k_2 k_4} g^{\mu\nu} \right\} u_1 \epsilon_{2\mu} \epsilon_{4\nu}^*
 \end{aligned}$$

$$(425) \delta^\mu k_4 \delta^\nu = k_4^\mu \delta^\nu - k_4^\nu g^{\mu\nu} + k_4^\nu \delta^\mu + i \epsilon^{\mu\nu\alpha\beta} \delta_5 \delta_\beta k_{4\alpha} \quad [p.112 (324)]$$

$$(426) k_2 + k_4 = (k_3 + k_4 - k_1) + k_4 = 2k_4 + \delta^\mu \left( \frac{k_1^\nu}{k_1 k_4} - \frac{k_2^\nu}{k_2 k_4} \right)$$

$$(427) \hat{M}_I = g^2 \bar{u}_3 \left\{ -\left( \frac{1}{2k_1 k_4} + \frac{1}{k_2 k_4} \right) k_4^\mu \delta^\nu + \left( \frac{1}{2k_1 k_4} + \frac{1}{k_2 k_4} \right) k_4^\nu g^{\mu\nu} - \frac{i \epsilon^{\mu\nu\alpha\beta} k_{4\alpha} \delta_\beta \delta_5}{2k_1 k_4} \right\} u_1 \epsilon_{2\mu} \epsilon_{4\nu}^*$$

$$(428) \hat{M}_I = g^2 \left\{ \left( \frac{1}{k_2 k_4} + \frac{1}{2k_1 k_4} \right) [k_4 \cdot J \varepsilon_2 \cdot \varepsilon_4^* - k_4 \cdot \varepsilon_2 J \cdot \varepsilon_4^*] + \left( \frac{k_1 \varepsilon_4^*}{k_1 k_4} - \frac{k_2 \varepsilon_4^*}{k_2 k_4} \right) J \cdot \varepsilon_2 - i \frac{[\varepsilon_2, \varepsilon_4^*, k_4, J_5]}{2k_1 k_4} \right\}$$

$$(429) (J^\mu, J_5^\mu) \equiv \bar{u}(k_3, \lambda_3) (\gamma^\mu, \gamma^\mu \gamma_5) v(k_1, \lambda_1)$$

$$(430) [a, b, c, d] \equiv \varepsilon_{\mu\nu\rho\sigma} a^\mu b^\nu c^\rho d^\sigma$$

全く同様的に

$$(431) \hat{M}_{II} = g^2 \left\{ \left( \frac{1}{2k_3 k_4} - \frac{1}{k_2 k_4} \right) [k_4 \cdot J \varepsilon_2 \cdot \varepsilon_4^* - k_4 \cdot \varepsilon_2 J \cdot \varepsilon_4^*] + \left( \frac{k_2 \varepsilon_4^*}{k_2 k_4} - \frac{k_3 \varepsilon_4^*}{k_3 k_4} \right) J \cdot \varepsilon_2 + i \frac{[\varepsilon_2, \varepsilon_4^*, k_4, J_5]}{2k_3 k_4} \right\}$$

$\therefore \tau$   $J^\mu, J_5^\mu$  は (379a) と  $\bar{u} \setminus v$   $\tau$

$$(432) (\gamma^\mu, J_5^\mu)_\lambda = \bar{u}(k_3, \lambda) (\gamma^\mu, \gamma^\mu \gamma_5) u(k_1, \lambda) = (1, \lambda) J_\lambda^\mu \quad ; J_\lambda^\mu = (399a)$$

$$(433) \varepsilon_2^\mu = \varepsilon(k_2, \lambda_2)^\mu = \frac{1}{\sqrt{2}} (0, \lambda_2, -i, 0) \quad ; (333b)$$

$$\varepsilon_4^{\mu*} = \varepsilon(k_4, \lambda_4)^{\mu*} = \frac{1}{\sqrt{2}} (0, -\lambda_4 \cos\theta, i, \lambda_4 \sin\theta)^* \quad ; (332) \theta \rightarrow \pi - \theta$$

$$= \frac{1}{\sqrt{2}} (0, -\lambda_4 \cos\theta, -i, \lambda_4 \sin\theta)$$

$\phi = \pi$

$k_1^\mu \sim k_4^\mu$  は (331).  $\hat{x}, \tau$

$$(434) \varepsilon_2 \cdot \varepsilon_4^* = \frac{1}{2} [0 - \lambda_2 (-\lambda_4) \cos\theta - (-i)(-i) - 0] = \frac{1}{2} (1 + \lambda_2 \lambda_4 \cos\theta)$$

$$k_1 \cdot \varepsilon_4^* = \frac{E}{\sqrt{2}} (-\lambda_4 \sin\theta)$$

$$k_2 \cdot \varepsilon_4^* = \frac{E}{\sqrt{2}} (+\lambda_4 \sin\theta)$$

$$k_3 \cdot \varepsilon_4^* = \frac{E}{\sqrt{2}} \lambda_4 (\sin\theta \cos\theta - \cos\theta \sin\theta) = 0$$

$; k_3^\mu \sim p^\mu$  は HELAS の  $\theta \rightarrow \pi - \theta$

$$k_4 \cdot \varepsilon_2 = \frac{E}{\sqrt{2}} \lambda_2 \sin\theta$$

$$(435) K_4 \cdot J = 2E^2 \left( \cos \frac{\theta}{2} + \sin \theta \sin \frac{\theta}{2} + \cos \theta \cos \frac{\theta}{2} \right) = 2E^2 \cos \frac{\theta}{2} (1 + 2\sin^2 \frac{\theta}{2} + \cos \theta) = 4E^2 \cos \frac{\theta}{2}$$

$$\varepsilon_2 \cdot J = \sqrt{2} E \left( -\lambda_2 \sin \frac{\theta}{2} + i(i\lambda \sin \frac{\theta}{2}) \right) = -\sqrt{2} E (\lambda + \lambda_2) \sin \frac{\theta}{2} = -2\sqrt{2} E \sin \frac{\theta}{2} \lambda \delta \lambda_2$$

$$\begin{aligned} \varepsilon_4^* \cdot J &= \sqrt{2} E \left( \lambda_4 \cos \theta \sin \frac{\theta}{2} + i(i\lambda \sin \frac{\theta}{2}) - \lambda_4 \sin \theta \cos \frac{\theta}{2} \right) \\ &= \sqrt{2} E \sin \frac{\theta}{2} \left( \lambda_4 \cos \theta - \lambda_4 2 \cos^2 \frac{\theta}{2} - \lambda \right) \\ &= -\sqrt{2} E (\lambda + \lambda_4) \sin \frac{\theta}{2} \\ &= -2\sqrt{2} E \sin \frac{\theta}{2} \lambda \delta \lambda_4 \end{aligned}$$

$$\begin{aligned} (436) [\varepsilon_2, \varepsilon_4^*, K_4, J_5] &= \frac{1}{\sqrt{2}} \cdot \frac{1}{\sqrt{2}} \cdot E \cdot 2E\lambda \begin{vmatrix} 0 & \lambda_2 & -i & 0 \\ 0 & -\lambda_4 \cos \theta & -i & \lambda_4 \sin \theta \\ 1 & -\sin \theta & 0 & -\cos \theta \\ \cos \frac{\theta}{2} & \sin \frac{\theta}{2} & i\lambda \sin \frac{\theta}{2} & \cos \frac{\theta}{2} \end{vmatrix} \\ &= E^2 \lambda \left\{ \lambda_2 \varepsilon_{1023} \begin{vmatrix} 0 & -i & \lambda_4 \sin \theta \\ 1 & 0 & -\cos \theta \\ \cos \frac{\theta}{2} & i\lambda \sin \frac{\theta}{2} & \cos \frac{\theta}{2} \end{vmatrix} - i \varepsilon_{2013} \begin{vmatrix} 0 & -\lambda_4 \cos \theta & \lambda_4 \sin \theta \\ 1 & -\sin \theta & -\cos \theta \\ \cos \frac{\theta}{2} & \sin \frac{\theta}{2} & \cos \frac{\theta}{2} \end{vmatrix} \right\} \\ &= E^2 \lambda \left\{ -\lambda_2 \left[ -i(-\cos \theta \cos \frac{\theta}{2} - \cos \frac{\theta}{2}) + \lambda_4 \sin \theta (i\lambda \sin \frac{\theta}{2}) \right] \right. \\ &\quad \left. - i \left[ -\lambda_4 \cos \theta (-\cos \theta \cos \frac{\theta}{2} - \cos \frac{\theta}{2}) + \lambda_4 \sin \theta (\sin \frac{\theta}{2} + \sin \theta \cos \frac{\theta}{2}) \right] \right\} \\ &= -iE^2 \lambda \left\{ \lambda_2 \left[ \cos \frac{\theta}{2} (1 + \cos \theta) + \lambda \lambda_4 \cos \frac{\theta}{2} 2 \sin^2 \frac{\theta}{2} \right] \right. \\ &\quad \left. + \lambda_4 \cos \frac{\theta}{2} \cos \theta (1 + \cos \theta) + \lambda_4 \cos \frac{\theta}{2} [2 \sin^2 \frac{\theta}{2} + \sin^2 \theta] \right\} \\ &= -iE^2 \lambda \cos \frac{\theta}{2} \left\{ \lambda_2 [1 + \cos \theta + \lambda \lambda_4 (1 - \cos \theta)] + \lambda_4 [\cancel{\cos \theta} + \cos^2 \theta + 1 - \cancel{\cos \theta} + \sin^2 \theta] \right\} \\ &= -iE^2 \lambda \cos \frac{\theta}{2} \left[ \lambda \lambda_2 (1 + \cos \theta) + \lambda_2 \lambda_4 (1 - \cos \theta) + 2\lambda \lambda_4 \right] \end{aligned}$$